

振动与波

NSX

2025 年 4 月 11 日

1 *Equilibrium* (平衡)

回忆高中物理，我们知道，振动的最基本形式——简谐振动的一大特点便是具有平衡位置。因此，在开始正式讨论振动与波之前，我们先来研究一下物体平衡的条件。

平衡的定义如下：

- *Equilibrium* (平衡): The condition of a system when neither its state of motion nor its internal energy state tends to change with time.

通过前面章节力学部分的学习，我们知道，上面的定义可以写作以下两种形式：

$$\begin{cases} \vec{F}_{net} = 0 \\ \vec{\tau}_{net} = 0 \end{cases} \Leftrightarrow \begin{cases} \vec{p} = Const \\ \vec{L} = Const \end{cases}, \text{ 或 } \begin{cases} \frac{dU}{d\vec{x}} = 0 \end{cases}$$

让我们分别观察两个等价的表达式，它们分别从**受力**与**能量**的角度描述了何为“平衡”。

先从受力的角度。我们知道，物体的所受的力矩大小与转轴位置有关。那么，一个自然的问题是，平衡的物体重新选取转轴位置后，总力矩依旧为零吗？答案是肯定的。

$$\begin{cases} \sum_i \vec{F}_i = 0 \\ \sum_i \vec{\tau}_i = 0 \end{cases} \Rightarrow \sum_i \vec{\tau}_{i,O'} = 0, \text{ for any other point } O'.$$

特别地，对于 $\vec{p} = 0, \vec{L} = 0$ 的情况，我们称之为 *Static equilibrium* (静态平衡)——显然，这与坐标系的选取有关。而从能量的角度，能量关于时间一阶导为零，根据其二阶导的符号，我们又可将其分为以下三种情况：

- *Stable equilibrium* (稳定平衡): $\frac{dU}{d\vec{x}} = 0, \frac{d^2U}{d\vec{x}^2} < 0$
- *Unstable equilibrium* (不稳定平衡): $\frac{dU}{d\vec{x}} = 0, \frac{d^2U}{d\vec{x}^2} > 0$
- *Neutral equilibrium* (随遇平衡): $\frac{dU}{d\vec{x}} = 0, \frac{d^2U}{d\vec{x}^2} = 0$

直观上讲，*Stable equilibrium* (稳定平衡) 位置势能取最小值，好比是一个落入坑中的小球，在施以一定干扰的情况下是“稳定”的；*Unstable equilibrium* (不稳定平衡) 位置势能取最大值，好比是一个停留在穹顶的小球，虽然静止，但一旦受到外力干扰便会打破其平衡的状态；而 *Neutral equilibrium* (随遇平衡) 可以理解为物体的平衡状态不会被位移所改变，例如一根横躺的圆柱，无论滚到哪里都可以保持静止。

2 *Oscillations* (振动)

2.1 *Simple Harmonic Motion (SHM)* (简谐运动)

简谐运动想必大家已经非常了解了，下面我们用另外一种方式引入。

考虑一个 *Stable equilibrium* (稳定平衡) 的物体, 在平衡点 \vec{x}_0 对 U 做关于 \vec{x} 的 *Taylor expansion* (泰勒展开)

$$U(\vec{x}) = U(\vec{x}_0) + \frac{dU}{d\vec{x}} \Big|_{\vec{x}_0} (\vec{x} - \vec{x}_0) + \frac{1}{2} \frac{d^2U}{d\vec{x}^2} \Big|_{\vec{x}_0} (\vec{x} - \vec{x}_0)^2 + \dots$$

$$\approx U(\vec{x}_0) + \frac{1}{2} k (\vec{x} - \vec{x}_0)^2, k = \frac{d^2U}{d\vec{x}^2} \Big|_{\vec{x}_0} \quad (\vec{x} \sim \vec{x}_0)$$

而我们又知道 $\vec{F} = -\frac{dU}{d\vec{x}}$, 于是得到:

$$\vec{F} = -k(\vec{x} - \vec{x}_0)$$

如果将 k 近似看做一个正常数, 显然, 这便与我们高中接触的简谐运动的定义相同。由此可见, 简谐运动实际上是一种具有更为广泛意义的运动。

下面我们给出简谐运动的完整定义:

- *Simple harmonic motion* (简谐运动): The motion of an object whose acceleration of the system, and therefore the net force, is proportional to the displacement and acts in the opposite direction of the displacement.

利用牛顿第二定律, 我们可以列出以下微分方程:

$$m\ddot{x} = -k(x - x_0)$$

解这个微分方程, 得到:

$$x(t) = A \cos(\omega t + \varphi) + x_0$$

其中

- A : *Amplitude* (振幅), the maximum displacement from the equilibrium position.
- ω : *Angular frequency* (角频率), which identically equals to $\sqrt{\frac{k}{m}}$.
- φ : *Initial phase angle* (初相角), which determines the initial position of the motion at $t = 0$.

我们再定义两个物理量:

- T : *Period* (周期), the time taken for one complete cycle of motion.
- f : *Frequency* (频率), the number of cycles per unit time.

则有以下关系:

$$T = \frac{2\pi}{\omega}, f = \frac{1}{T} = \frac{\omega}{2\pi}$$

而利用 $x(t) = A \cos(\omega t + \varphi) + x_0$, 我们可以进一步得到:

$$\begin{cases} v = -\omega A \sin(\omega t + \varphi) & = \omega A \cos(\omega t + \varphi + \frac{\pi}{2}) \\ a = -\omega^2 A \cos(\omega t + \varphi) & = \omega^2 A \cos(\omega t + \varphi + \pi) \end{cases}$$

两个小结论:

- 偏离平衡位置的位移与加速度符号相反。
- 位移、速度与加速度周期一致。

下面, 我们来讨论简谐运动物体的机械能:

$$K = \frac{1}{2} m v^2 = \frac{1}{2} m \omega^2 A^2 \sin^2(\omega t + \varphi)$$

$$= \frac{1}{2} k A^2 \sin^2(\omega t + \varphi)$$

$$U = \frac{1}{2} k (x - x_0)^2 = \frac{1}{2} k A^2 \cos^2(\omega t + \varphi)$$

于是

$$E = K + U = \frac{1}{2}kA^2$$

这说明简谐运动系统总机械能守恒，且振幅大小的平方与总机械能大小正相关¹。

对动能与势能的表达式稍加变形：

$$K = \frac{1}{2}kA^2 \frac{1 - \cos(2\omega t + 2\varphi)}{2}$$
$$U = \frac{1}{2}kA^2 \frac{1 + \cos(2\omega t + 2\varphi)}{2}$$

即得到两者的周期均为运动周期的一半。

2.2 Expressing SHM With Uniform Circular Motion (用匀速圆周运动表达简谐运动)

看到三角函数，我们自然会想到圆。简谐运动与匀速圆周运动之间的关系是非常直接的。

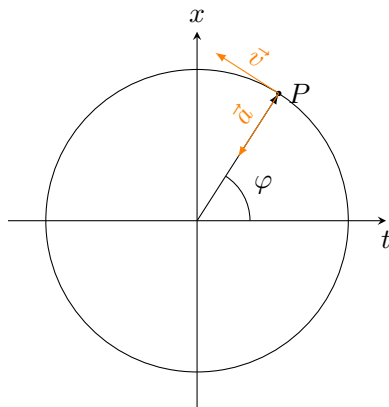


图 1: 圆周运动示意图

考虑 P 点在 x 轴上的投影，显然有 $x = A\cos(\omega t + \varphi)$ 。于是我们知道，每一个简谐运动都可以与一个圆周运动相对应。这种思想将会在后续内容中有所体现。

2.3 Damped Oscillations (阻尼振动)*

下面我们来稍微超越一下高中范围。我们知道，生活中难以存在真正的简谐运动的一大原因是阻力的存在。我们先考虑一种最普遍的阻力——流体阻力。在低速条件下，流体阻力的大小可以由下式表达：

$$F_d = -bv^2$$

其中 b 被称为阻尼系数，是一个由物体形状与流体性质决定的量。直观理解，如果阻尼不大，系统的运动方式应当接近简谐运动，但是随时间会有能量的损耗；而阻尼很大时，系统可能就不能震荡了。

与解决简谐运动问题一样，我们用牛顿第二定律列出微分方程：

$$m\ddot{x} = -k(x - x_0) - b\dot{x}$$

解这个微分方程，会发现它的解实际上需要分为三类。

按照物理图像的不同，我们分别称它们为：*Underdamped* (欠阻尼)，*Overdamped* (过阻尼)，*Critically damped* (临界阻尼)。

我们定义 *Natural angular frequency* (固有角频率) 为 $\omega_0 = \sqrt{\frac{k}{m}}$ ，然后有解：

- *Underdamped* (欠阻尼) ($\frac{k}{m} < (\frac{b}{2m})^2$):

$$x = Ae^{-\frac{b}{2m}t} \cos\left(\sqrt{\frac{k}{m} - \left(\frac{b}{2m}\right)^2}t + \varphi\right) + x_0$$

¹不知大家此时有没有想到 Parseval 恒等式呢

²实际上，流体阻力公式应为 $F_d = \frac{1}{2}\rho v^2 C_d A$ ，课内要求的仅仅是解决低速情况。针对更准确的表达式，我们将在补充材料中讨论。

- *Overdamped* (过阻尼) ($\frac{k}{m} < (\frac{b}{2m})^2$):

$$x = A_1 \exp \left[\left(-\frac{b}{2m} + \sqrt{\frac{b}{2m} - \left(\frac{k}{m}\right)^2} \right) t \right] + A_2 \exp \left[\left(-\frac{b}{2m} - \sqrt{\frac{b}{2m} - \left(\frac{k}{m}\right)^2} \right) t \right] + x_0$$

- *Critically damped* (临界阻尼) ($\frac{k}{m} = (\frac{b}{2m})^2$):

$$x = (A_1 + A_2 t) e^{-\frac{b}{2m} t} + x_0$$

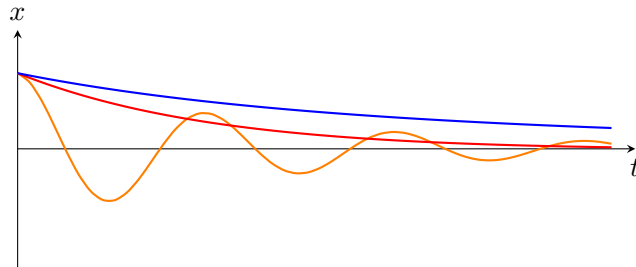


图 2: 三种阻尼振动

如果阻尼较小，物体会振荡，且随着能量被阻力消耗，振幅会逐渐减小。其极限情况便是“临界阻尼”。如果阻尼很大，质点在运动时不会振荡，而是会慢慢返回到平衡位置。

有趣的是，能量耗散最快的情况是临界阻尼。一种理解方式是考虑两种极限情况：阻尼接近零时，系统接近于简谐运动，能量几乎不消耗；阻尼无穷大时，系统接近静止，能量同样几乎不消耗。临界阻尼的这种特性被应用于电流表的阻尼设计中。

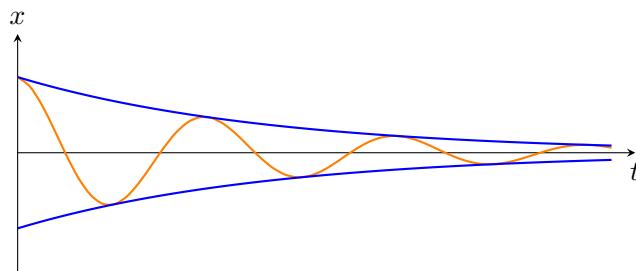


图 3: 欠阻尼的包络线

对于欠阻尼的情况，还可以将其看作是能量的指数衰减与周期运动的叠加。相对于无阻尼的情况，体系的周期会增大。

2.4 Forced Oscillations (受迫振动)

下面让我们转向另一类常见的振动形式：

- *Forced Oscillations* (受迫振动): The condition of system when it is driven by a periodic force that is external to the oscillating system.

在阻尼运动的基础上，我们设驱动力的表达式为 $F_d = F_{ext} \cos \omega t$ 。同样，我们用牛顿第二定律列出微分方程：

$$m\ddot{x} = -k(x - x_0) - b\dot{x} + F_{ext} \cos \omega t$$

解这个微分方程，得到：

$$x = \underbrace{A' e^{-\frac{b}{2m} t} \cos(\omega' t + \varphi')}_{\text{transient solution}} + \underbrace{A \cos(\omega t - \varphi)}_{\text{steady solution}} + x_0$$

令 $\omega_0 = \sqrt{\frac{k}{m}}$ ，则其中

$$\begin{cases} A = \frac{F_{ext}/m}{\sqrt{(\omega^2 - \omega_0^2)^2 + (b\omega/m)^2}} \\ \tan \varphi = \frac{b\omega/m}{\omega_0^2 - \omega^2} \end{cases}$$

观察解的表达式可以发现，当 t 很大的时候，解的前半部分因为存在指数衰减因子，几乎对 x 不起作用——于是此时物体便近似在做简谐运动，也即“稳定”了。这就是为什么解的前半部分被称为 *transient solution* (暂态解)，后半部分被称为 *steady solution* (稳态解)。

下面，我们采用比较“物理”的方式来分析稳态解的一些极端表现。

将微分方程改写为

$$\ddot{x} + \frac{b}{m}\dot{x} + \omega^2 x + \frac{F_{ext}}{m} \cos \omega t = 0$$

同时我们有

$$\begin{cases} x = A \cos(\omega t - \varphi) \\ \dot{x} = \omega A \cos(\omega t - \varphi + \frac{\pi}{2}) \\ \ddot{x} = \omega^2 A \cos(\omega t - \varphi + \pi) \\ F = F_{ext} \cos(\omega t) \end{cases}$$

我们可以把以上式子中的每一项与一个简谐运动所对应，再将其分别与一个匀速圆周运动所对应。于是我们可以用这样一幅图来表达：

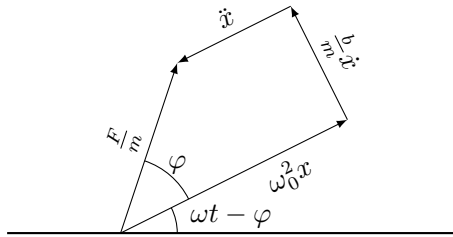


图 4: 用匀速圆周运动表达受迫振动

- Slow drive ($\omega \ll \omega_0$):

此时 \dot{x}, \ddot{x} 很小，于是有

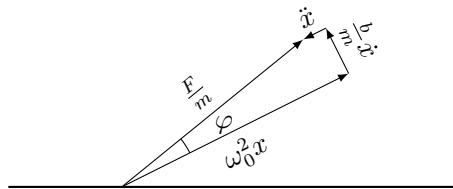


图 5(1)

可以看出， $\frac{F}{m} \approx \omega_0^2 x$ ，也即 $F_{ext} \cos(\omega t) \approx kA \cos(\omega t - \varphi)$ ，这说明

$$\begin{cases} A \approx \frac{F_{ext}}{k} \\ \varphi \approx 0 \end{cases}$$

即物体运动与驱动力同步。

- Fast drive ($\omega \gg \omega_0$):

此时 $\ddot{x} \gg \omega_0^2 x$ ，于是有

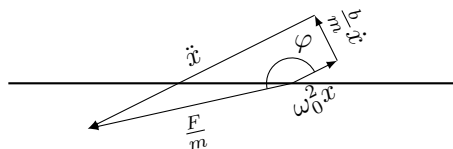


图 5(2)

可以看出, $\frac{F}{m} \approx \ddot{x}$, 也即 $F_{ext} \cos(\omega t) \approx mA\omega^2 \cos(\omega t - \varphi + \pi)$, 这说明

$$\begin{cases} A \approx \frac{F_{ext}/m}{\omega^2} \approx 0 \\ \varphi \approx \pi \end{cases}$$

即物体运动与驱动力恰好反相。

- *Resonance* (共振) ($\omega = \omega_0$):

此时 $\omega_0^2 x = \ddot{x}$, 于是有

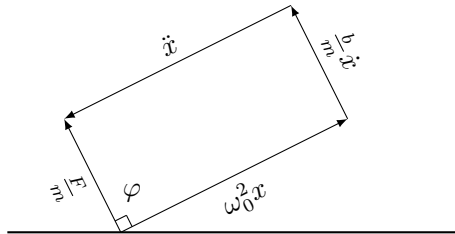


图 5(3)

可以看出, $\frac{F}{m} = \frac{b}{m} \dot{x}$, 也即 $F_{ext} \cos(\omega t) = Ab\omega \cos(\omega t - \varphi + \frac{\pi}{2})$, 这说明

$$\begin{cases} A = \frac{F_{ext}}{b\omega_0} \\ \varphi = \frac{\pi}{2} \end{cases}$$

此时我们便可以收回前文的伏笔: 当 $b \rightarrow 0$, 即忽略阻尼时, 与驱动力共振的物体的振幅将会达到无穷大——这显然是不可能的。

下面我们来从数学的角度对稳态解作进一步分析。

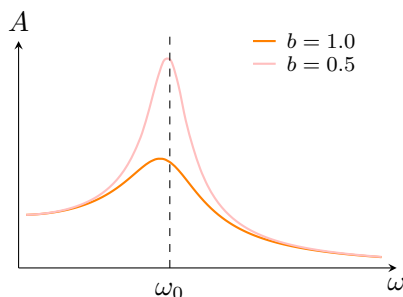


图 6: 不同阻尼系数情况下振幅与驱动力频率的关系

我们很容易求出振幅 A 的极值点:

$$\omega = \sqrt{\omega_0^2 - \frac{b^2}{m^2}} \approx \omega_0$$

因此, 物体的共振频率实际略小于物体的固有频率, 但为了方便起见, 我们一般认为它们相等。当物体处于共振状态时, 振幅达到最大值; 阻尼系数越接近 0, 物体的最大振幅越大:

$$A_{max} = \frac{F_{ext}/b}{\sqrt{\omega_0^2 - \frac{b^2}{m^2}}} \approx \frac{F_{ext}}{b\omega_0}$$

3 Waves (波)

3.1 Introduction

波随处可见。从物理的角度而言, 我们将某一物理量的扰动或振动在空间逐点传递时形成的运动称为波。不同形式的波虽然在产生机制、传播方式和与物质的相互作用等方面存在很大差别, 但在传播时却表现出多方面的共性, 可用相同的数学方法描述和处理。

波可以分为以下三类:

- *Mechanical Waves* (机械波): e.g. Water, Sound, *Seismic Waves* (地震波)...
- *Electromagnetic Waves* (电磁波): e.g. Light, Radio...
- *Matter Waves* (物质波): Quantum mechanical view of fundamental particles.

3.2 *Mechanical Wave* (机械波)

下面我们主要讨论机械波。机械波的定义如下:

- A mechanical wave is the large movement of a disturbance in a *medium* (介质), whereas the particles that make up the medium oscillate about a fixed equilibrium position.

机械波的形成需要以下三个条件:

1. *Source of disturbance* (波源)
2. *Medium* (介质)
3. Physical connection between *adjacent* (邻近的) *portions* (部分) of the medium

3.3 *Pulse Wave* (脉冲波)

脉冲波是一个有限长度的波。例如, 如果只摇晃绳子的末端一次, 则会产生脉冲波。

我们称脉冲通过之前以及之后绳子所在的位置为 *Equilibrium position* (平衡位置), 称绳上质点位移的最大值为 *Amplitude* (振幅), 用 A 表示。波的振幅由波源决定; 与振动类似, 波的能量与振幅正相关。

脉冲波是一种 *traveling wave* (行波)。我们称 *Displacement* (位移) y 为 *Wave Function* (波函数):

$$y = f(x, t) = f(x \pm vt)$$

其中, v 是 *wave speed* (波速), $f(x - vt)$ 代表 *right-moving wave* (右行波), $f(x + vt)$ 代表 *left-moving wave* (左行波)。

出于对 *polarization* (偏振) 的研究, 按照振动方向与传播方向的不同关系, 波又可以分为以下两类

- *Transverse Wave* (横波): A wave is transverse if the displacement from equilibrium is perpendicular to the direction the wave is traveling, or $\Delta \vec{y} \perp \vec{v}$.

e.g. Light, or the wave along a string...

- *Longitudinal Wave* (纵波): A material wave is longitudinal if the medium displacement from equilibrium is in the same direction that the wave is traveling, or $\Delta \vec{y} // \vec{v}$.

e.g. Sound, or the wave along a *spring* (弹簧)...

3.4 *Superposition of Waves* (波的叠加)

在满足线性近似的条件下, 波的叠加是线性的。我们可以用下面的公式表达波的叠加:

$$y(x, t) = y_1(x, t) + y_2(x, t)$$

对于满足这一关系的波, 我们称之为 *Linear Waves* (线性波); 否则称之为 *Nonlinear Waves* (非线性波)。

线性波假设下, 两束相遇的行波才可以穿过对方而不对其本身产生任何影响。

下面, 我们先给出 *interference* (干涉) 的定义:

- The combination of separate waves in the same region of space to produce a *resultant* (合成的) wave is called interference.

根据两束波叠加时的表现，我们将其分为以下两类：

- *Constructive Interference* (相长干涉): The phenomenon where two or more waves combine to form a wave with greater amplitude.

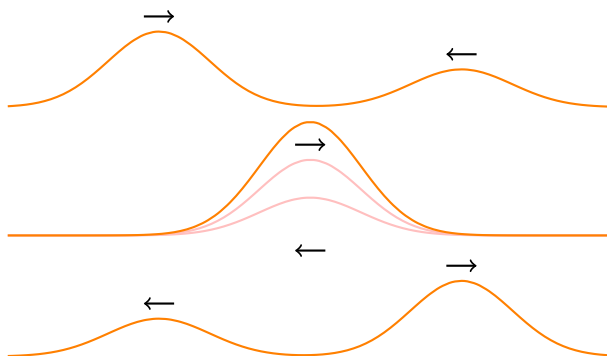


图 7: *Constructive Interference* (相长干涉)

- *Destructive Interference* (相消干涉): The phenomenon where two or more waves combine to form a wave with reduced or zero amplitude.

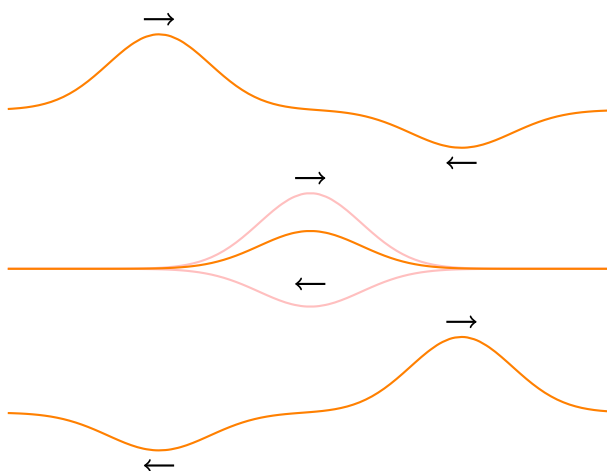


图 8: *Destructive Interference* (相消干涉)

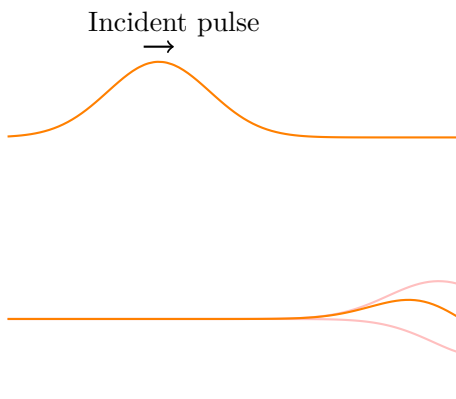
3.4.1 *Reflection of Waves* (波的反射)

当绳波遇到绳的端点，会发生反射现象。绳波的反射形式与端点的约束有关。一般地，我们称之为 *Boundary Condition* (边界条件)。

我们先介绍最简单的两种边界条件形式：

- *Fixed Boundary Condition* (固定边界条件):

顾名思义，该情况对应的是绳波一个端点固定的情况。根据牛顿第三定律知，反射波将会与入射波相反。



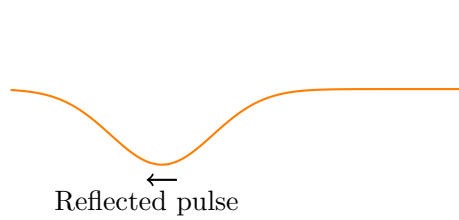


图 9: 固定边界条件下波的反射

• *Free Boundary Condition* (自由边界条件):

该情况对应的是绳波一个端点可以上下自由移动的情况 (例如用一个圆环套在杆子上)。对端点进行受力分析可知, 反射波将会与入射波相同。

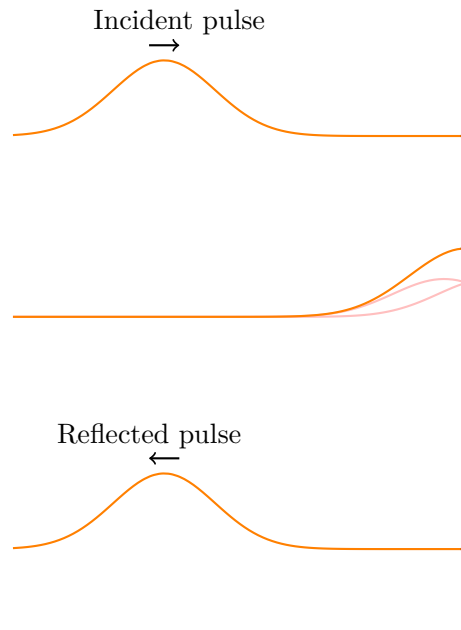


图 10: 自由边界条件下波的反射

3.4.2 *Transmission of Waves* (波的透射)

我们可以将波的反射看作是极端情况下的透射 (没有波成功透射)。若边界的状态介于这两种极端之间, 则部分入射波会被反射, 另一部分则透过边界传播。不妨记介质一中波速为 v_1 , 介质二中波速为 v_2 , 根据不同介质中波速的相对大小关系, 我们将其分为以下两类:

- $v_1 > v_2$: 此时波的传播接近于 *Fixed Boundary Condition* (固定边界条件), 发生 *Half-Wave Losses* (半波损失) (即反射波反相)。

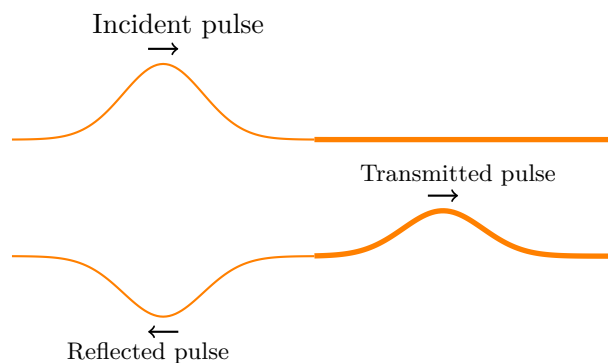


图 11

- $v_1 < v_2$: 此时波的传播接近于 *Free Boundary Condition* (自由边界条件), 反射波不反相。

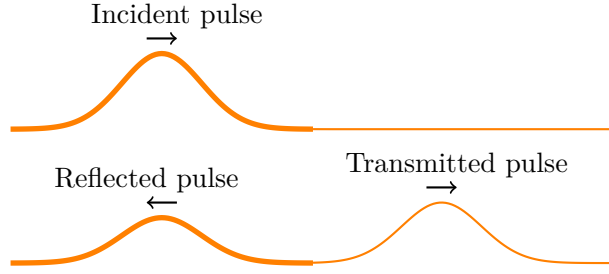


图 12

3.5 Linear Wave Equation (线性波动方程)

在前面对脉冲波的讨论中，我们主要是从相对物理的角度来观察波传播中的现象。下面，我们通过数学的角度来严格刻画波的传播过程。

我们先介绍 *phonon* (声子) 模型，描述固体材料中机械波的传播。

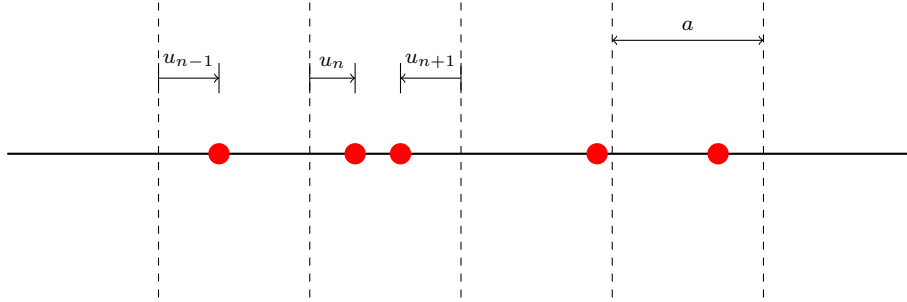


图 13: Mechanical waves in *monoatomic crystal* (单原子晶体)

记晶格常数为 a ，则第 n 个声子的平衡位置 $X_n = na$ 。再记第 n 个声子的实际位置为 x_n ，则它偏离平衡位置的位移为 $u_n = X_n - x_n$ 。

为简单起见，我们只考虑相邻声子间的相互作用。记势能函数为 $\psi(\Delta x)$ ，在 $\Delta x = a$ 点展开，我们有

$$\begin{aligned}\psi(\Delta x) &= \psi_0 + \frac{1}{2}k(\Delta x - a)^2 + \dots \\ &= \psi_0 + \frac{1}{2}k(x_n - x_{n-1} - a)^2 + \dots \\ &\approx \psi_0 + \frac{1}{2}k(u_n - u_{n-1})^2\end{aligned}$$

于是

$$U^{total} \approx U_0^{total} + \frac{k}{2} \sum_n (u_n - u_{n-1})^2$$

对于第 n 个声子，我们有

$$F_n = -\frac{dU^{total}}{du_n} = k(u_{n+1} - u_n) - k(u_n - u_{n-1})$$

再由牛顿第二定律

$$m\ddot{u}_n = k(u_{n+1} - u_n) - k(u_n - u_{n-1})$$

在 $\lambda \gg a$ 的条件下，作如下变形

$$\begin{aligned}m\ddot{u}_n &= ka \frac{u_{n+1} - u_n}{a} - ka \frac{u_n - u_{n-1}}{a} \\ &= ka \frac{u_{n+1} - u_n}{x_{n+1} - x_n} - ka \frac{u_n - u_{n-1}}{x_n - x_{n-1}} \\ &= ka \frac{\partial u}{\partial x} \Big|_{x_n + \frac{a}{2}} - ka \frac{\partial u}{\partial x} \Big|_{x_n - \frac{a}{2}} \\ &= ka^2 \frac{\frac{\partial u}{\partial x} \Big|_{x_n + \frac{a}{2}} - \frac{\partial u}{\partial x} \Big|_{x_n - \frac{a}{2}}}{(x_n + \frac{a}{2}) - (x_n - \frac{a}{2})} \\ &= ka^2 \frac{\partial^2 u}{\partial x^2} \Big|_{x_n}\end{aligned}$$

最后, 令 $v \equiv a\sqrt{\frac{k}{m}}$, 我们得到了波动方程

$$\boxed{\frac{\partial^2 u}{\partial t^2} = v^2 \frac{\partial^2 u}{\partial x^2}}$$

上面的推导过程是基于纵波的, 下面我们基于绳波, 对横波进行推导。
假设绳子的振幅很小, 我们对一小段绳子进行受力分析:

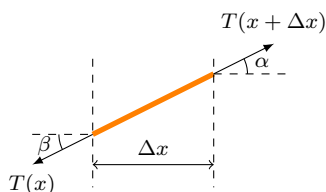


图 14: 对绳子的受力分析

α, β 都很小, 于是有

$$T(x + \Delta x) \cos \alpha \approx T(x) \cos \beta \approx T$$

记绳子的线密度为 μ , 离开平衡位置的位移为 u , 根据牛顿第二定律, 有

$$\begin{aligned} \mu \Delta x \frac{\partial^2 u}{\partial t^2} &= T(x + \Delta x) \sin \alpha - T(x) \sin \beta \\ &\approx T \tan \alpha - T \tan \beta \\ &= T \frac{\partial u}{\partial x} \Big|_{x+\Delta x} - T \frac{\partial u}{\partial x} \Big|_x \\ &= T \Delta x \frac{\partial^2 u}{\partial x^2} \end{aligned}$$

约去 Δx , 令 $v = \sqrt{\frac{T}{\mu}}$, 得到

$$\frac{\partial^2 u}{\partial t^2} = v^2 \frac{\partial^2 u}{\partial x^2}$$

显然, 方程的形式是完全一致的。

经过简单的验证可知, 波动方程的解具有以下形式

$$u = F(x + vt) + G(x - vt)$$

其中, $F(x + vt)$ 代表左行波, $G(x - vt)$ 代表右行波。

3.6 Periodic Wave (周期波)

物理世界中的波千千万, 本着从简单到复杂的理念, 我们先讨论一种特殊的波——周期波。而周期波中最简单的莫过于正弦波了。仿照简谐振动, 我们定义以下几个物理量来描述一个正弦波。

- *Amplitude* (振幅) A : The maximum displacement of the particle from the equilibrium position.
- *Period* (周期) T : The time taken for one complete cycle of motion.
- *Frequency* (频率) f : The number of cycles per unit time.
- *Wavelength* (波长) λ : Distance of points whose oscillations differ by 2π .
- *Angular frequency* (角频率) ω : Which indentially equals to $\frac{2\pi}{T}$.
- *Angular wave numbers* (角波数) k : Which indentially equals to $\frac{2\pi}{\lambda}$.

根据波在一个周期内的平移，我们有关系式

$$v = \frac{\lambda}{T} = \frac{\omega}{k}$$

考虑如下正弦波：

$$\begin{aligned} y &= A \sin(kx - \omega t + \varphi) \\ &= A \sin \left[k \left(x - \frac{\omega}{k} t \right) + \varphi \right] \\ &= A \sin [k(x - vt) + \varphi] \\ &= F(x - vt) \end{aligned}$$

因此， $y = A \sin(kx - \omega t + \varphi)$ 是波动方程 $\frac{\partial^2 y}{\partial t^2} = v^2 \frac{\partial^2 y}{\partial x^2}$ 的解。

容易求得，对于该波上的一个质点，其速度 v 与加速度 a 分别为：

$$\begin{aligned} v &= \frac{\partial y}{\partial t} = -\omega A \cos(kx - \omega t + \varphi) \\ a &= \frac{\partial^2 y}{\partial t^2} = -\omega^2 A \sin(kx - \omega t + \varphi) \end{aligned}$$

3.6.1 Rate of Energy Transfer (能量传递速率)

在波动过程中，介质中的每个质点都在做简谐振动，因此波的能量包括动能和势能两部分。

设线密度为 μ ，我们有 $dm = \mu dx$ ，故质点的动能为

$$dK = \frac{1}{2}(\mu dx)v^2$$

其中， μdx 是质点的质量， v 是质点的振动速度。

对于正弦波 $y = A \sin(kx - \omega t + \varphi)$ ，质点的振动速度为

$$v = \frac{\partial y}{\partial t} = -A\omega \cos(kx - \omega t + \varphi)$$

因此，动能为

$$dK = \frac{1}{2}(\mu dx)A^2\omega^2 \cos^2(kx - \omega t + \varphi)$$

动能传输速率为

$$\frac{dK}{dt} = \frac{1}{2}\mu v A^2 \omega^2 \cos^2(kx - \omega t + \varphi)$$

从而得到动能传输速率平均值为

$$\left(\frac{dK}{dt} \right)_{avg} = \frac{1}{4}\mu v \omega^2 A^2$$

对于同一正弦波，势能为

$$\begin{aligned} dU &= T \cdot (dl - dx) = T \cdot \left(\sqrt{(dx)^2 + (dy)^2} - dx \right) \\ &= T dx \left[\sqrt{1 + \left(\frac{dy}{dx} \right)^2} - 1 \right] \\ &= \frac{1}{2} T \left(\frac{dy}{dx} \right)^2 dx = \frac{1}{2} v^2 \mu \left(\frac{dy}{dx} \right)^2 dx \\ &= \frac{1}{2} \omega^2 \mu \cos^2(kx - \omega t + \varphi) dx \end{aligned}$$

势能传输速率为

$$\frac{dU}{dt} = \frac{1}{2}\mu v A^2 \omega^2 \cos^2(kx - \omega t + \varphi)$$

从而得到势能传输速率平均值为

$$\left(\frac{dU}{dt} \right)_{avg} = \frac{1}{4}\mu v \omega^2 A^2$$

可以发现，在波动过程中，任一质元的动能和势能相等，且同相位变化。于是质点的总能量，即其动能和势能之和，为

$$dE = dK + dU = \mu v A^2 \omega^2 \cos^2(kx - \omega t + \varphi)$$

总能量的传输速率平均值为

$$\left(\frac{dE}{dt}\right)_{avg} = \frac{1}{2} \mu v A^2 \omega^2$$

3.6.2 Interference of Waves (波的干涉)

当两列或多列周期波在同一介质中传播时，它们会在相遇的区域产生干涉现象。此处“干涉”的要求强于我们在 *Superposition of Waves* (波的叠加) 一节中讨论的。

两列周期波产生稳定干涉图样的条件是：

- 频率相同
- 相位差恒定
- 振动方向相同

考虑两列正弦波

$$y_1 = A \sin(kx - \omega t + \varphi_1)$$

$$y_2 = A \sin(kx - \omega t + \varphi_2)$$

它们的合成波为

$$y = y_1 + y_2 = 2A \cos\left(\frac{\varphi_2 - \varphi_1}{2}\right) \sin\left(kx - \omega t + \frac{\varphi_1 + \varphi_2}{2}\right)$$

其中， $2A \cos\left(\frac{\varphi_2 - \varphi_1}{2}\right)$ 是合成波的振幅，取决于相位差 $\Delta\varphi = \varphi_2 - \varphi_1$ 。

干涉可分为以下两类：

- *Constructive interference (in phase)* (相长干涉)：当两列波的相位差为 π 的偶数倍时，振幅相加，形成加强的波。
- *Destructive interference (out of phase)* (相消干涉)：当两列波的相位差为 π 的奇数倍时，振幅相减，形成减弱的波。

3.6.3 Temporal Interference (时域相干)

下面，我们讨论更一般的情况。考虑两列正弦波：

$$y_1 = A \sin(k_1 x - \omega_1 t + \varphi_1)$$

$$y_2 = A \sin(k_2 x - \omega_2 t + \varphi_2)$$

先假设 $v_1 = v_2 = v$, i.e. $\frac{\omega_1}{k_1} = \frac{\omega_2}{k_2} = v$, 有：

$$\begin{aligned} y &= y_1 + y_2 \\ &= A \sin(k_1 x - \omega_1 t + \varphi_1) + A \sin(k_2 x - \omega_2 t + \varphi_2) \\ &= 2A \sin\left(\frac{(k_1 x - \omega_1 t + \varphi_1) + (k_2 x - \omega_2 t + \varphi_2)}{2}\right) \\ &\quad \cdot \cos\left(\frac{(k_1 x - \omega_1 t + \varphi_1) - (k_2 x - \omega_2 t + \varphi_2)}{2}\right) \end{aligned}$$

令

$$\omega_{avg} = \frac{\omega_1 + \omega_2}{2} \quad \Delta\omega = \omega_1 - \omega_2$$

则合成波可以表示为

$$y = 2A \cos\left[\frac{\Delta\omega}{2} \left(\frac{x}{v} - t\right) + \frac{\varphi_1 - \varphi_2}{2}\right] \sin\left[\omega_{avg} \left(\frac{x}{v} - t\right) + \frac{\varphi_1 + \varphi_2}{2}\right]$$

进一步地，我们可以这样看：

- $\sin \left[\omega_{avg} \left(\frac{x}{v} - t \right) + \frac{\varphi_1 + \varphi_2}{2} \right]$ 表示一个高频载波。
- $2A \cos \left[\frac{\Delta\omega}{2} \left(\frac{x}{v} - t \right) + \frac{\varphi_1 - \varphi_2}{2} \right]$ 表示一个低频调制波。

如果两列波的频率接近 ($\omega_1 \approx \omega_2$), 则 $\Delta\omega$ 很小, 调制波的频率 $\frac{\Delta\omega}{2}$ 也很小。此时, 合成波会表现出明显的 *beat* (拍) 现象, 即振幅随时间缓慢变化, 变化频率为 $\Delta\omega$ 。

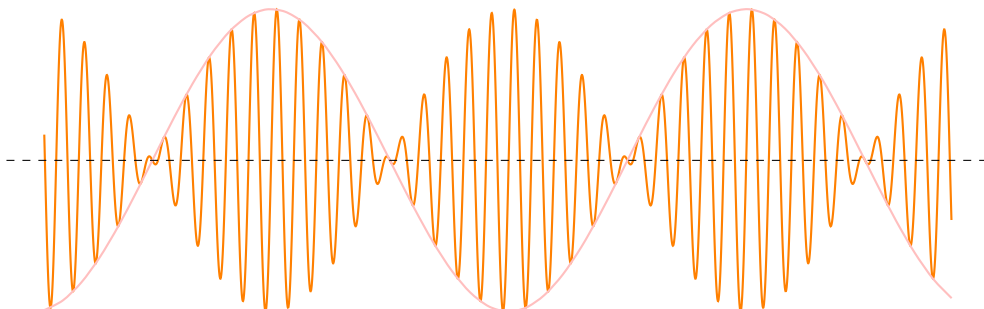


图 14: 合成波示意图

- 在小尺度上, 我们有

$$\lambda \sim \frac{2\pi}{k} \sim \frac{2\pi v}{\omega_{avg}}$$

- 在大尺度上, 我们有

$$\lambda' \sim \frac{2\pi v}{\Delta\omega/2}$$

我们称

$$f_{beat} = \frac{1}{2\pi} |\omega_1 - \omega_2|$$

为 *beat frequency* (拍频)。它可以应用于乐器调音。

3.7 Standing Wave (驻波)

Standing Wave (驻波) 是两列振幅相同、频率相同、传播方向相反的波叠加形成的特殊干涉现象。

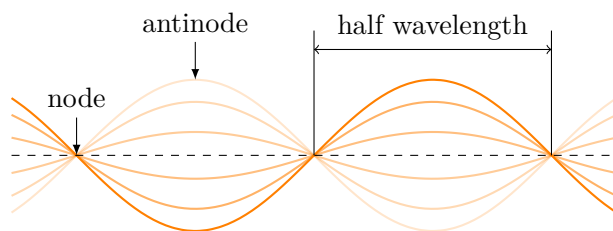


图 14: *Standing Wave* (驻波)

驻波的方程为:

$$y = 2A \sin(kx) \cos(\omega t)$$

驻波中, 始终静止不动的点称为 *Node* (波节); 振幅最大的点称为 *Antinode* (波腹); 相邻的节点或相邻的波腹之间的距离均为 *Half Wavelength* (半波长)。

驻波上每一点都在做简谐运动, 没有能量传输。

驻波发生在拨动一条两端固定的弦时。

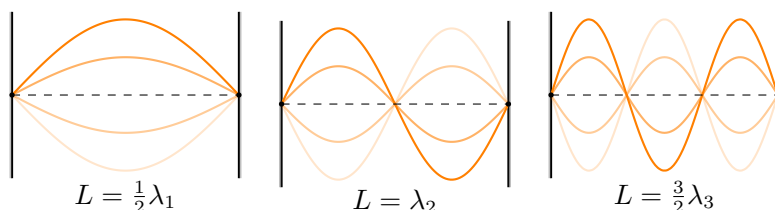


图 15: 两端固定情况下弦的振动

更一般的，我们有

$$\lambda_n = \frac{2L}{n} \quad (n = 1, 2, 3, \dots)$$

$$f_n = n \cdot \frac{v}{2L} \quad (n = 1, 2, 3, \dots)$$

下面，我们考虑一个实际的场景：吉他的发声原理。

我们可以把吉他弦简单抽象为一根两个端点固定的弦

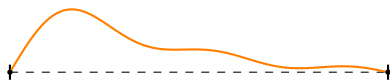


图 16: 吉他弦的振动

吉他弦的振动产生了声音。声音的三个基本要素是 *Pitch* (音高)、*Loudness* (响度) 和 *Timbre* (音色)。音高由频率决定，频率越高，音高越高；响度由振幅决定，振幅越大，声音越响；音色则由波形决定，不同的波形会产生不同的音色。

吉他弦的振动不仅包含基频 f_1 ，还包含一系列整数倍³于基频的 *Harmonics* (泛音)。这些泛音构成了 *Harmonic Series* (泛音列)，其频率为：

$$f_n = n \cdot f_1 \quad (n = 1, 2, 3, \dots)$$

其中， f_1 是基频， f_2, f_3, \dots 分别是第二、第三泛音，依此类推。

为了更直观地理解泛音列，我们可以将声音的频域表示画出来。下图展示了图 16 所示吉他弦的频域分布：

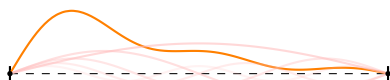


图 17: 吉他弦的振动

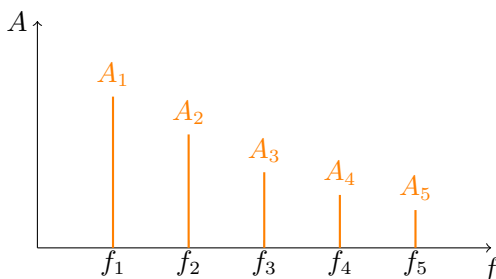


图 18: 吉他弦振动的频域表示

从图中可以看出，泛音的振幅随着频率的增加逐渐减小。通过调整弦的材料、张力以及演奏方式，可以改变泛音的分布，从而产生不同的音色效果——这也就是不同乐器音色不同的真正原因。如何求得频域表示？我们通过傅里叶变换来实现。

3.7.1 *Fourier Analysis* (傅里叶分析)*

任何周期性振动都可以通过 *Fourier Series* (傅里叶级数) 展开为一系列正弦波的叠加：

$$f(t) = \sum_{n=0}^{+\infty} \left[A_n \cos\left(n \frac{2\pi}{T} t\right) + B_n \sin\left(n \frac{2\pi}{T} t\right) \right]$$

$$= A_0 + \sum_{n=1}^{+\infty} [A_n \cos(n\omega t) + B_n \sin(n\omega t)]$$

³这是因为两端点固定情况下只允许驻波解。下学期的量子力学将会从这个角度得到量子化。

其中

$$A_0 = \frac{1}{T} \int_0^T f(t) dt$$
$$A_n = \frac{2}{T} \int_0^T f(t) \cos(n\omega t) dt \quad (n = 1, 2, 3, \dots)$$
$$B_n = \frac{2}{T} \int_0^T f(t) \sin(n\omega t) dt \quad (n = 1, 2, 3, \dots)$$

根据欧拉公式，我们也可以把傅里叶级数写成如下形式：

$$f(t) = \sum_{n=-\infty}^{+\infty} Z_n e^{in\omega t}, \quad Z_n = \frac{1}{T} \int_0^T f(t) e^{-in\omega t} dt$$

对于非周期函数（如脉冲波），我们可以把它看做是周期为无穷大的函数。通常意义下的傅里叶级数没有意义，但是经过一些推导，我们可以得到称为 *Fourier transform* (傅里叶变换) 的结果

$$F(\omega) = \int_{-\infty}^{+\infty} f(t) e^{-i\omega t} dt$$
$$f(t) = \frac{1}{2\pi} \int_{-\infty}^{+\infty} F(\omega) e^{i\omega t} d\omega$$

它们也被记作

$$F(\omega) = \mathcal{F}[f(t)] \quad \text{傅里叶变换}$$
$$f(t) = \mathcal{F}^{-1}[F(\omega)] \quad \text{傅里叶逆变换}$$

傅里叶变换实际沟通了时域与频域，具有十分重要的意义。限于篇幅，仅做简介。

3.8 *Elasticity* (弹性)

弹性是介质在外力作用下发生形变，并在外力撤去后恢复原状的性质。了解介质的弹性性质，有利于我们之后理解声波。

我们先介绍两个概念：

- *Stress* (应力): Deforming force per area.
- *Strain* (应变): Unit deformation (形变).

对于小应力，我们有：

$$\text{Stress} = \text{Modulus(模量)} \times \text{Strain}$$

根据外力作用方式的不同，弹性可以分为以下几类：

- *Tension* (拉伸) & *Compression* (压缩): 当介质受到拉伸或压缩时，其长度发生变化。
 - *Stress* (应力): F/A
 - *Strain* (应变): $\Delta L/L$

其中， F 是作用力， A 是横截面积， ΔL 是长度变化， L 是原长。对应的模量为 *Young's Modulus* (杨氏模量) E ：

$$E = \frac{F/A}{\Delta L/L}$$

- *Shearing* (剪切): 当介质受到切向力作用时，其形状发生变化。
 - *Stress* (应力): F/A
 - *Strain* (应变): $\Delta x/L$.

对应的模量为 *Shear Modulus* (剪切模量) G , 定义为:

$$G = \frac{F/A}{\Delta x/L}$$

其中, Δx 是切向位移, L 是介质高度。

• *Hydraulic Stress* (液压应力): 当介质受到均匀压力时, 其体积发生变化。

– *Hydraulic Stress* (应力): ΔP

– *Strain* (应变): $\Delta V/V$.

对应的模量为 *Bulk Modulus* (体积模量) B , 定义为:

$$B = -\frac{\Delta P}{\Delta V/V}$$

其中, ΔP 是压力变化, ΔV 是体积变化, V 是原体积。

3.8.1 *Stress-Strain Curve* (应力-应变曲线)

应力-应变曲线描述了介质在外力作用下的形变行为。典型曲线包括弹性区域、屈服点、塑性区域和断裂点。

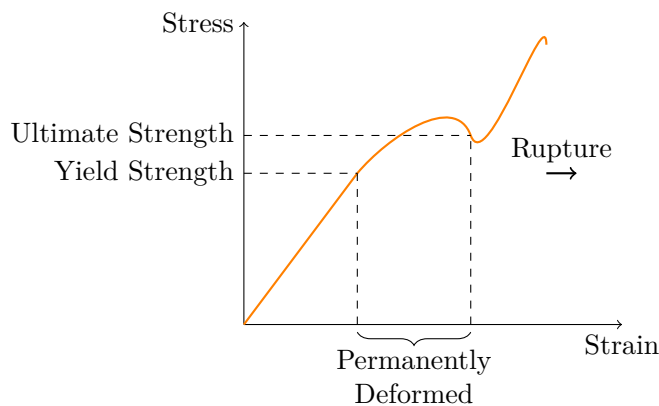


图 19: 应力-应变曲线

3.9 *Sound Wave* (声波)

声波是一种机械波, 通过介质中的弹性振动传播。

3.9.1 *The Definition of Sound Wave* (声波的定义)

一切(机械)纵波都可以称为声波。声波的传播需要介质, 不能在真空中传播。描述声波, 我们可以使用 *Wavefront* (波前) 这一概念。

Wavefront (波前) 是声波传播过程中相位相同的点构成的曲面。波前的形状取决于声源的几何形状和传播介质的性质。

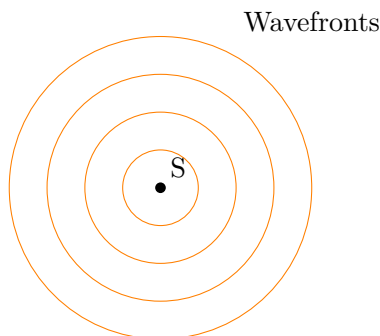


图 20: 波前示意图

3.9.2 Speed of Sound (声速)

空气中的声速 v 可以通过介质的弹性性质和密度推导得出。

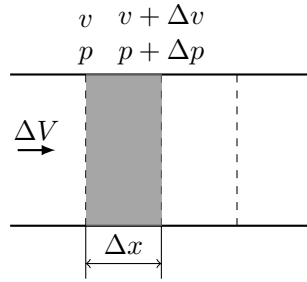


图 21: 空气压缩示意图

设空气从左往右运动，截面积为 A ，密度为 ρ ，体积模量为 B 。

左侧空气压缩右侧空气，使得接触面速度减小 ($\Delta v < 0$)，压强增大 ($\Delta p > 0$)。根据牛顿第二定律，我们有：

$$\begin{aligned} F &= ma \\ \Rightarrow [p - (p + \Delta p)]A &= (\rho \Delta x A) \frac{\Delta v}{\Delta t} \\ \Rightarrow -\Delta p A &= \rho A v \Delta v \end{aligned}$$

易知空气体积为 $V = A\Delta x = Av\Delta t$ ，体积变化量为 $\Delta V = A\Delta v\Delta t$ ，于是有

$$\frac{\Delta V}{V} = \frac{Av\Delta t}{A\Delta v\Delta t} = \frac{\Delta v}{v}$$

进一步，我们有

$$\begin{aligned} \Delta p &= \rho v \Delta v \\ \Rightarrow \Delta p &= \rho v^2 \frac{\Delta V}{V} \\ \Rightarrow \rho v^2 &= -\frac{\Delta p}{\Delta V/V} = B \end{aligned}$$

最终得到

$$v = \sqrt{\frac{B}{\rho}}$$

3.9.3 Intensity (声强)

声强 I 是单位时间内通过单位面积的声能，定义为：

$$I = \frac{P}{A}$$

其中， P 是声功率， A 是面积。

对于正弦波，我们有

$$S = A \sin(kx - \omega t + \varphi)$$

$$I = \frac{1}{2} \rho v \omega^2 A^2$$

根据能量守恒，对于点声源，我们有

$$I = \frac{P_s}{4\pi r^2}$$

其中， P_s 是声源功率， r 是到声源的距离。

声强与声压的关系为：

$$I = \frac{p^2}{2\rho v}$$

3.9.4 Sound Level (声级)

声级 L 是声强的对数尺度表示，单位为分贝 (dB)，定义为：

$$L = 10 \log_{10} \left(\frac{I}{I_0} \right)$$

其中， $I_0 = 10^{-12} \text{W/m}^2$ 是参考声强。

3.10 Doppler Effect (多普勒效应)

多普勒效应描述了声源和观察者相对运动时频率的变化。设观察者速度为 v_D ，声源速度为 v_S ，声速为 v ，分以下情况讨论：

- Both Stationary:

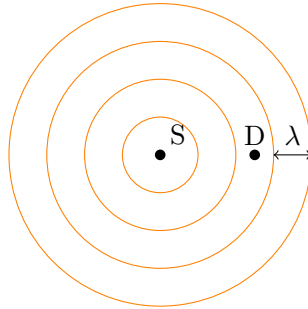


图 22: (1)

频率 f 是单位时间通过观察者的波前数量。显然，此时我们有

$$f = \frac{vt/\lambda}{t} = \frac{v}{\lambda}$$

- Source stationary, Detector moving:

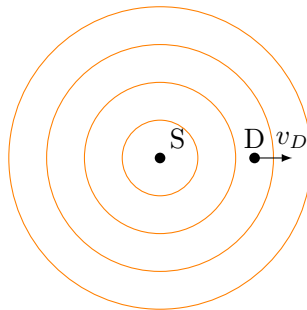


图 22: (2)

此时我们有

$$f' = \frac{(v \pm v_D)t/\lambda}{t} = \frac{v \pm v_D}{\lambda} = \frac{v \pm v_D}{v} f$$

- Detector stationary, Source moving:

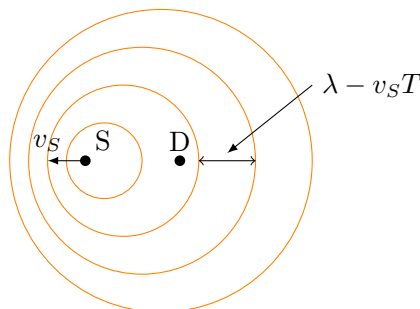


图 22: (2)

此时我们有

$$f' = \frac{vt/(\lambda \pm v_S T)}{t} = \frac{v}{vT \pm v_S T} = \frac{v}{v \pm v_S} f$$

- Both moving:

综合以上情况，得

$$f' = \frac{v \pm v_D}{v \pm v_S} f$$

在 *supersonic speeds* (超音速) 的情况下，波前会出现一些有趣的现象：

- $v_S = v$:

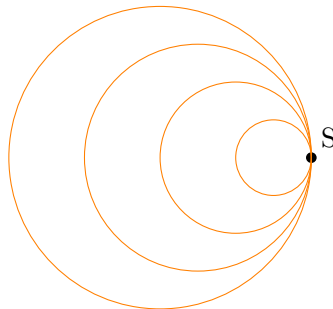


图 23: (1)

可见，波前都在声源处堆积，出现 *sound barrier* (音障现象)。

- $v_S > v$ (*Shock Wave* (激波)):

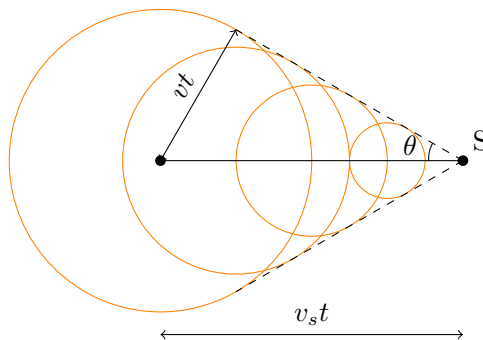


图 24: (2)

我们称波前的包络面为 *Mach Cone* (马赫锥)，并且有

- *Mach Cone Angle* (马赫锥角): $\theta = \arcsin \frac{vt}{v_s t} = \arcsin \frac{v}{v_S}$
- *Mach Number* (马赫数): $\frac{v_S}{v}$

2. An Angled Rail (20 points)

Say we have a particle m constrained to move along a rail that makes a fixed angle θ with the vertical. The particle is attached to a spring of spring constant k which is itself attached to a wall by a sliding attachment such that the attachment is always at the same height as the mass and the spring is always horizontal. Say the particle is at a stable equilibrium when it is at the position shown in Fig. 1.

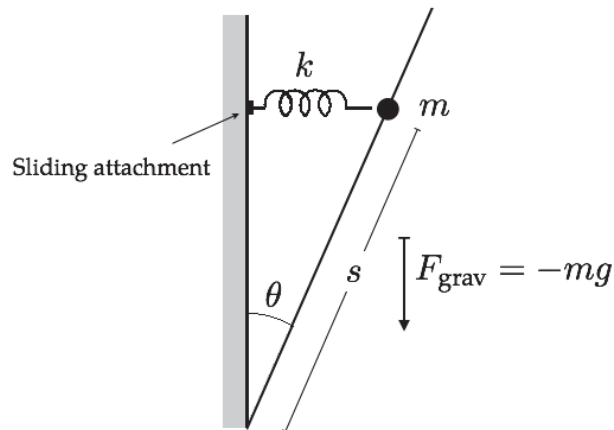


Figure 1: Angled Rails

We track the position of the particle with $s(t)$, the distance between the particle and the wall-rail attachment point.

- (5 points) If we set $\theta = \pi/2$, the mass only moves horizontally. In such a scenario, the mass has an equilibrium position $s = X_{\text{eq}}$. What is the equilibrium position for the general θ shown in the figure?
- (5 points) What is the equation of motion of the system in terms of s ? What should the equation of motion be if we take $\theta \rightarrow 0$? Check that your two answers are consistent.
- (10 points) Say the particle is displaced from the equilibrium shown in Fig. 1 such that its total energy is E_0 and it first reaches the amplitude of its motion at time $t = 3/4\omega_0$ (where ω_0 is the angular frequency of oscillation). Find $s(t)$ as a function of time in terms of these initial conditions and the prior defined parameters.

4. Transverse Wave On A String

如图 4 (a) 所示, 一根线密度为 μ 的匀质绳的一端固定在 $x = x_0$ 处. 假设绳上拉力的大小为恒定值 T , 横波的振幅较小.

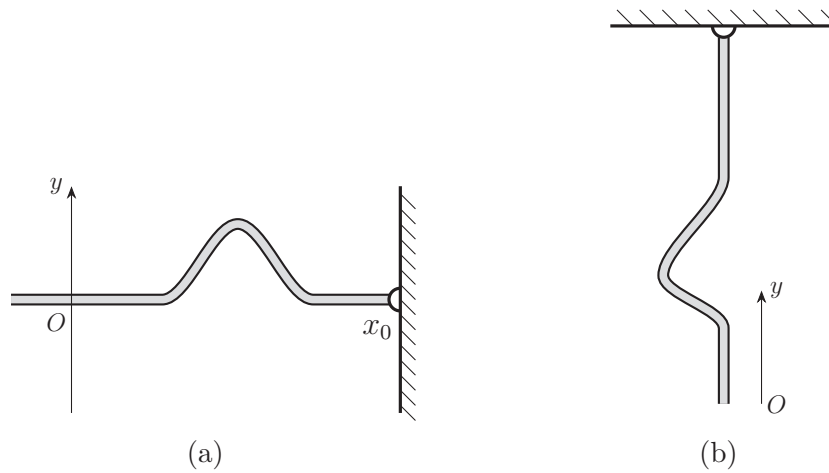


Figure 4: Transverse Wave On A String

(a) 推导绳上横波的波动方程.

(b) 考虑波动方程的正弦解 $y(x, t) = A \sin(kx - \omega t)$, 波传到固定端时会产生反射波 $y = A \sin(kx - \omega t + \phi)$. 试求出反射波的相位差 ϕ .

提示: 固定端位移始终为零.

$$\sin A + \sin B = 2 \sin \left(\frac{A+B}{2} \right) \cos \left(\frac{A-B}{2} \right) \quad \cos A + \cos B = 2 \cos \left(\frac{A+B}{2} \right) \cos \left(\frac{A-B}{2} \right)$$

(c) 如图 4 (b) 所示, 若把绳的一端固定在天花板上, 绳子仅受重力作用, 试推导绳上横波的波动方程. 正弦波还是满足该波动方程的解吗?